

Лабораторная работа №3.6.1  
Спектральный анализ электрических сигналов

Рожков А. В.

28 октября 2024 г.

**Цель работы:** изучить спектры сигналов различной формы и влияние параметров сигнала на вид соответствующих спектров; проверить справедливость соотношений неопределённостей; познакомиться с работой спектральных фильтров на примере RC-цепочки

**В работе используются:** генератор сигналов произвольной формы, цифровой осциллограф с функцией быстрого преобразования Фурье или цифровой USB-осциллограф, подключённый к персональному компьютеру.

# 1 Теоретическое введение

## 1.А Разложение сложных сигналов на периодические колебания

Представление периодического сигнала в виде суммы гармонических сигналов называется разложением в ряд Фурье.

Пусть заданная функция  $f(t)$  периодически повторяется с частотой  $\Omega_1 = \frac{2\pi}{T}$ , где  $T$  - период повторения. Ее разложение в ряд Фурье имеет вид

$$f(t) = \frac{a_0}{2} + \sum_{n=1}^{\infty} [a_n \cos(n\Omega_1 t) + b_n \sin(n\Omega_1 t)] \quad (1)$$

Здесь  $\frac{a_0}{2}$  - среднее значение функции  $f(t)$ ,

$$a_n = \frac{2}{T} \int_{t_1}^{t_1+T} f(t) \cos(n\Omega_1 t) dt, \quad (2)$$

$$b_n = \frac{2}{T} \int_{t_1}^{t_1+T} f(t) \sin(n\Omega_1 t) dt. \quad (3)$$

Рассмотрим периодические функции, которые исследуются в нашей работе.

### 1.А.1 Периодическая последовательность прямоугольных импульсов

(рис. 1) с амплитудой  $V_0$ , длительностью  $\tau$ , частотой повторения  $\Omega_1 = \frac{2\pi}{T}$ , где  $T$  - период повторения импульсов. Найдем коэффициенты разложения ряда Фурье:

$$\begin{aligned} \frac{a_0}{2} &= V_0 \frac{\tau}{T}, \\ a_n &= \frac{2}{T} \int_{-\frac{\tau}{2}}^{\frac{\tau}{2}} V_0 \cos(n\Omega_1 t) dt = 2V_0 \frac{\tau}{T} \frac{\sin(n\Omega_1 \frac{\tau}{2})}{n\Omega_1 \frac{\tau}{2}} \sim \frac{\sin x}{x}. \end{aligned} \quad (4)$$

Поскольку наша функция четная, все коэффициенты синусоидальных гармоник  $b_n = 0$ . Спектр  $a_n$  последовательности прямоугольных импульсов представлен на рис. 2 (изображен случай, когда  $T$  кратно  $\tau$ ).

Назовем *шириной спектра*  $\Delta\omega$  расстояние от главного максимума ( $\omega = 0$ ) до первого нуля огибающей, возникающего при  $n = \frac{2\pi}{\tau\Omega_1}$ . При этом

$$\Delta\omega\tau \simeq 2\pi$$

или

$$\Delta\nu\Delta t \simeq 1 \quad (5)$$

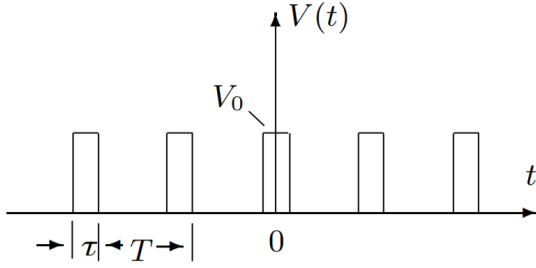


Рис. 1: Прямоугольные импульсы

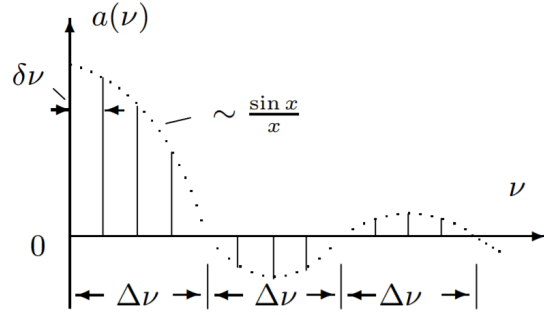


Рис. 2: Спектр последовательности прямоугольных импульсов

Полученное соотношение взаимной связи интервалов  $\Delta \nu$  и  $\Delta t$  является частным случаем соотношения неопределенности в квантовой механике.

### 1.A.2 Периодическая последовательность цугов

гармонического колебания  $V_0 \cos(\omega_0 t)$  с длительностью цуга  $\tau$  и периодом повторения  $T$  (рис. 3). Функция  $f(t)$  снова является четной относительно  $t = 0$ . Коэффициент при  $n$ -й гармонике равен

$$a_n = \frac{2}{T} \int_{-\frac{\tau}{2}}^{\frac{\tau}{2}} V_0 \cos(\omega_0 t) \cos(n\Omega_1 t) dt = V_0 \frac{\tau}{T} \left( \frac{\sin[(\omega_0 - n\Omega_1)\frac{\tau}{2}]}{(\omega_0 - n\Omega_1)\frac{\tau}{2}} + \frac{\sin[(\omega_0 + n\Omega_1)\frac{\tau}{2}]}{(\omega_0 + n\Omega_1)\frac{\tau}{2}} \right) \quad (6)$$

Зависимость для случая, когда  $\frac{T}{\tau}$  равно целому числу, представлена на рис. 4. Сравнивая спектр последовательности прямоугольных импульсов и цугов мы видим, что они аналогичны, но их максимумы сдвинуты по частоте на величину  $\omega_0$ .

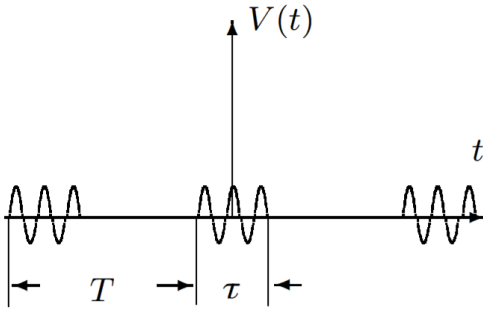


Рис. 3: Последовательность цугов

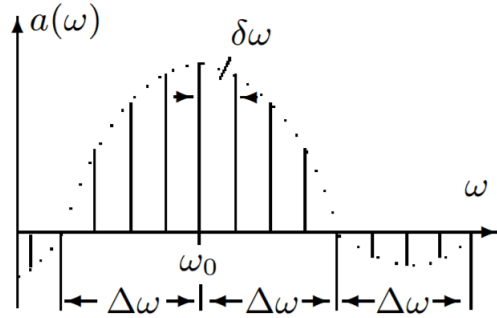


Рис. 4: Спектр последовательности цугов

### 1.A.3 Амплитудно-модулированные колебания

Рассмотрим гармонические колебания высокой частоты  $\omega_0$ , амплитуда которых медленно меняется по гармоническому закону с частотой  $\Omega$  ( $\Omega \ll \omega_0$ ) (рис. 5):

$$f(t) = A_0[1 + m \cos \Omega t] \cos \omega_0 t \quad (7)$$

Коэффициент  $m$  называют **глубиной модуляции**. При  $m < 1$  амплитуда колебаний меняется от минимальной  $A_{min} = A_0(1 - m)$  до максимальной  $A_{max} = A_0(1 + m)$ . Глубина модуляции может быть представлена в виде

$$m = \frac{A_{max} - A_{min}}{A_{max} + A_{min}} \quad (8)$$

Простым тригонометрическим преобразованием можно найти спектр амплитудно - модулированных колебаний:

$$f(t) = A_0 \cos(\omega_0 t) + \frac{A_0 m}{2} \cos(\omega_0 + \Omega)t + \frac{A_0 m}{2} \cos(\omega_0 - \Omega)t. \quad (9)$$

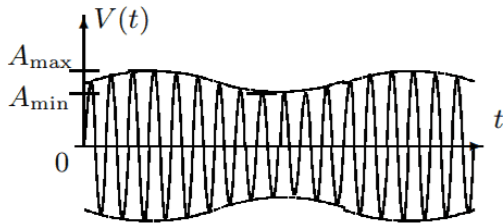


Рис. 5: Модулированные гармонические колебания

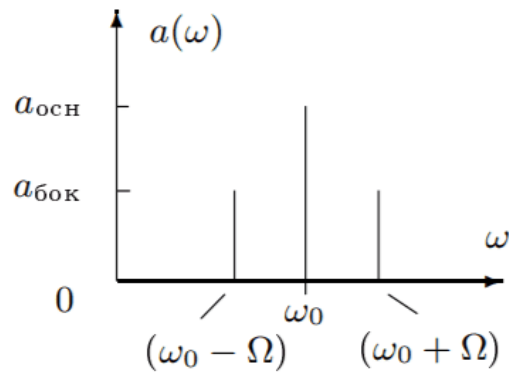


Рис. 6: Спектр модулированных гармонических колебаний

Спектр таких колебаний содержит три составляющих основную компоненту и две боковых (рис. 6). Первое слагаемое в правой части представляет собой исходное немодулированное колебание с основной (несущей) частотой  $\omega_0$  и амплитудой  $a_{осн} = A_0$ . Второе и третье слагаемые соответствуют новым гармоническим колебаниям с частотами  $\omega_0 + \Omega$  и  $\omega_0 - \Omega$ . Амплитуды этих двух колебаний одинаковы и составляют  $\frac{m}{2}$  от амплитуды немодулированного колебания:

$$a_{бок} = \frac{A_0 m}{2}. \text{ Начальные фазы всех трех колебаний одинаковы.}$$

## 2 Ход работы

### 2.А Исследование спектра периодической последовательности прямоугольных импульсов и проверка соотношений неопределённостей

#### 2.А.3 Настроим прямоугольный сигнал

$$\nu_{повт} = 1 \text{ кГц}, \tau = T/20 = 50 \text{ мкс}$$

#### 2.А.4 Устойчивая картина на экране осциллографа

Снимок экрана на рисунке 7

#### 2.А.5 Спектр прямоугольного сигнала (преобразование Фурье)

Снимок экрана на рисунке 8

#### 2.А.6 Наблюдение изменений спектра при изменении параметров сигнала

Результаты и параметра на рисунках 9, 10, 11, 12, 13, 14, 15

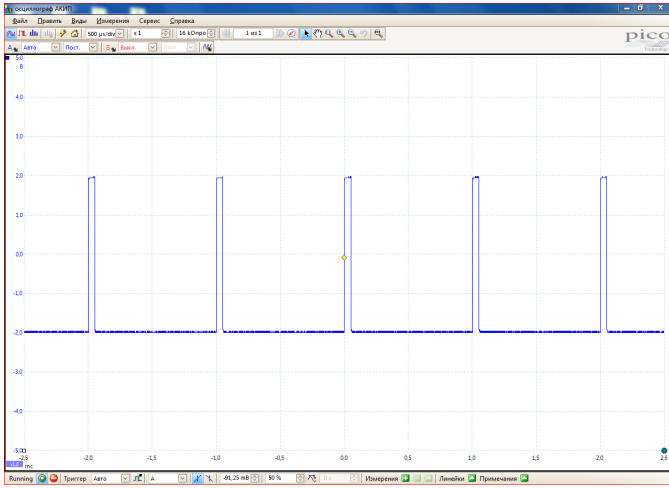


Рис. 7: Устойчивая картина прямоугольных импульсов

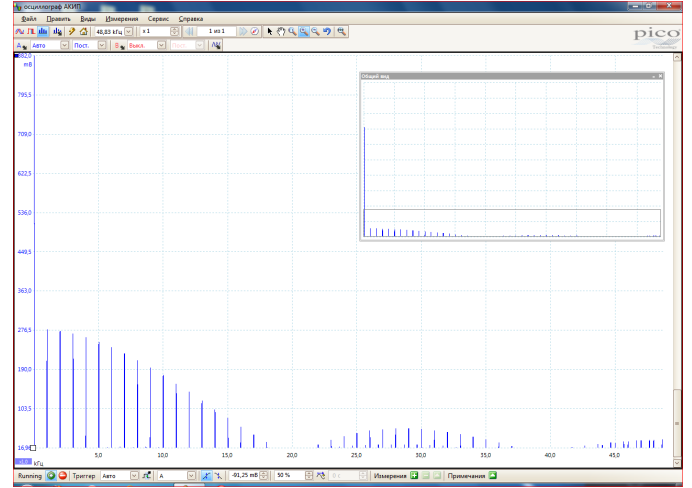


Рис. 8: Спектр прямоугольных импульсов (преобразование Фурье)

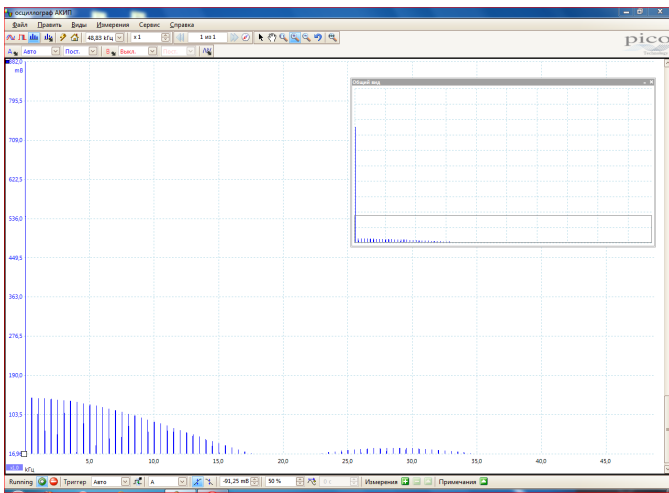


Рис. 9: Спектр прямоугольного сигнала ( $\nu_{\text{повт}} = 0.5$  кГц;  $\tau = 50$  мкс)

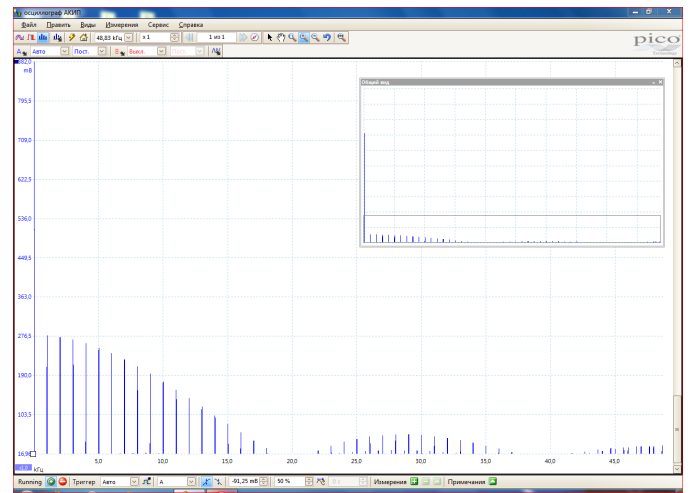


Рис. 10: Спектр прямоугольного сигнала ( $\nu_{\text{повт}} = 1$  кГц;  $\tau = 50$  мкс)

## 2.А.7 Измерение параметров спектра

Теоретические формулы:

$$\nu_n^{\text{теор}} = \frac{n}{T},$$

$$|a_n| = \frac{|\sin \frac{\pi n \tau}{T}|}{\pi n} = \frac{\tau}{T} \frac{|\sin \pi \nu_n \tau|}{\pi \nu_n \tau}$$

Результаты измерений и расчётов в таблице 1

## 2.А.8 Измерение полной ширины спектра при различных длинах импульса

Зафиксируем  $T = 1$  мс. Результаты в таблице 2

## 2.А.9 Измерение расстояния между соседними гармониками при различных периодах повторения сигнала

Зафиксируем  $\tau = 100$  мкс. Результаты в таблице 3

## 2.А.10 Графики зависимостей $\Delta\nu(1/\tau)$ и $\delta\nu(1/T)$ . Проверка соотношений неопределённости

Графики на рисунках 16 и 17

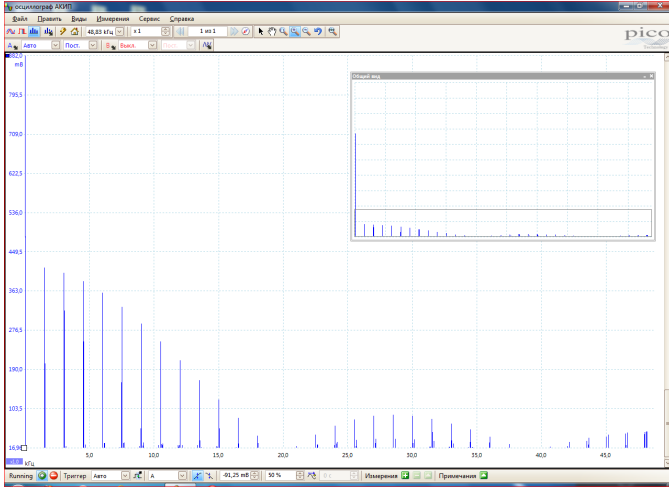


Рис. 11: Спектр прямоугольного сигнала ( $\nu_{\text{повт}} = 1.5$  кГц;  $\tau = 50$  мкс)

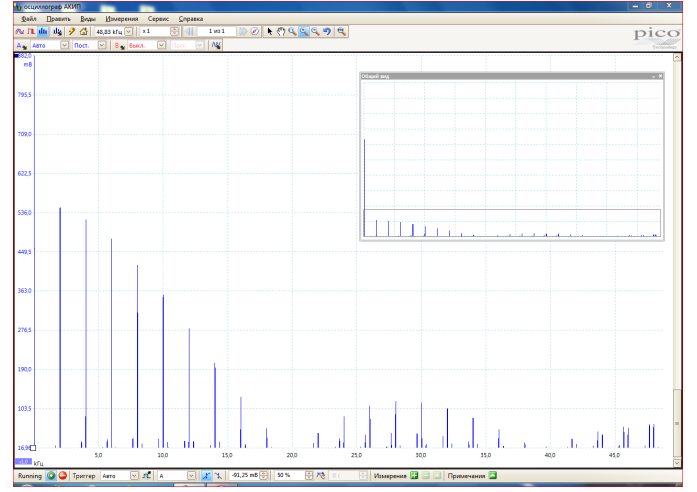


Рис. 12: Спектр прямоугольного сигнала ( $\nu_{\text{повт}} = 2$  кГц;  $\tau = 50$  мкс)

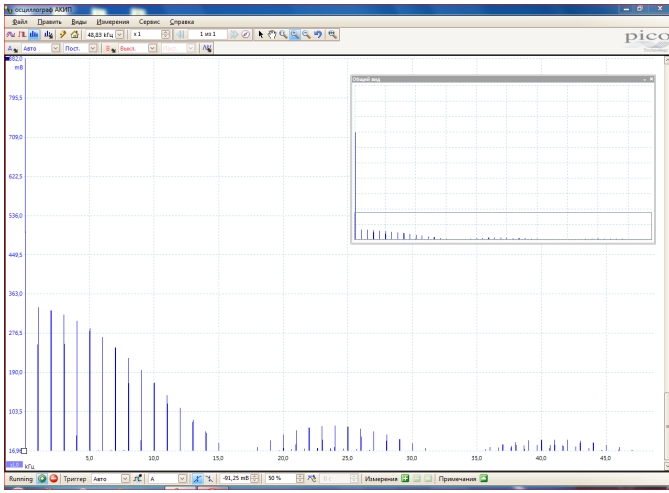


Рис. 13: Спектр прямоугольного сигнала ( $\nu_{\text{повт}} = 1$  кГц;  $\tau = 60$  мкс)

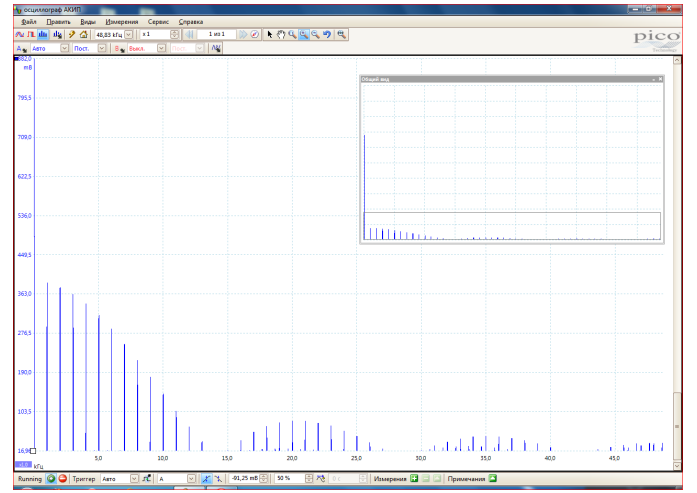


Рис. 14: Спектр прямоугольного сигнала ( $\nu_{\text{повт}} = 1$  кГц;  $\tau = 70$  мкс)

$n$	1	2	3	4	5
$\nu_n^{\text{эксп}}$ , кГц	$1.00 \pm 0.01$	$2.00 \pm 0.01$	$3.00 \pm 0.01$	$4.00 \pm 0.01$	$5.00 \pm 0.01$
$\nu_n^{\text{теор}}$ , кГц	1	2	3	4	5
$ a_n ^{\text{эксп}}$ , усл.ед.	$279.0 \pm 1.0$	$274.0 \pm 1.0$	$269.0 \pm 1.0$	$261.0 \pm 1.0$	$251.0 \pm 1.0$
$ a_n/a_1 ^{\text{эксп}}$	$1.000 \pm 0.005$	$0.982 \pm 0.005$	$0.964 \pm 0.005$	$0.935 \pm 0.005$	$0.900 \pm 0.005$
$ a_n/a_1 ^{\text{теор}}$	1	0.987688	0.967371	0.939347	0.904029

$n$	6	7	8
$\nu_n^{\text{эксп}}$ , кГц	$6.00 \pm 0.01$	$7.00 \pm 0.01$	$8.00 \pm 0.01$
$\nu_n^{\text{теор}}$ , кГц	6	7	8
$ a_n ^{\text{эксп}}$ , усл.ед.	$239.0 \pm 1.0$	$226.0 \pm 1.0$	$211.0 \pm 1.0$
$ a_n/a_1 ^{\text{эксп}}$	$0.857 \pm 0.005$	$0.810 \pm 0.005$	$0.756 \pm 0.004$
$ a_n/a_1 ^{\text{теор}}$	0.861934	0.813674	0.759948

Таблица 1: Параметры спектра прямоугольного сигнала

Проверим соотношения неопределённостей:  $\Delta\nu \sim \frac{1}{\tau}$  и  $\delta\nu \sim \frac{1}{T}$

По МНК коэффициенты:  $k_\tau = 1.012 \pm 0.007$ ;  $k_T = 1.021 \pm 0.003$ . Как видим соотношения выполняются с хорошей точностью.

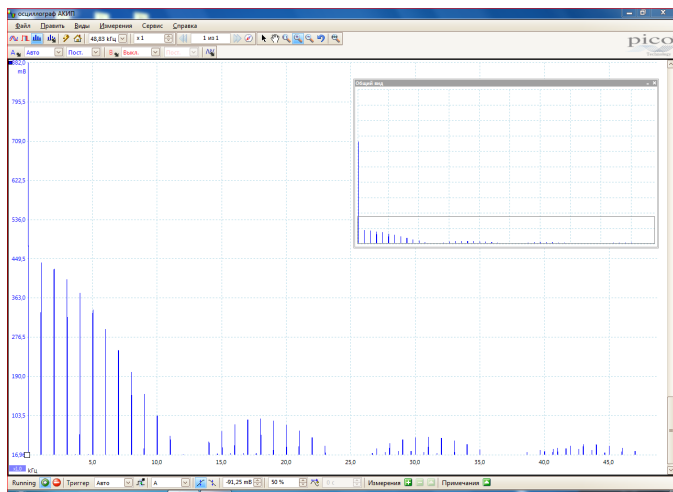


Рис. 15: Спектр прямоугольного сигнала ( $\nu_{\text{повт}} = 1 \text{ кГц}$ ;  $\tau = 80 \text{ мкс}$ )

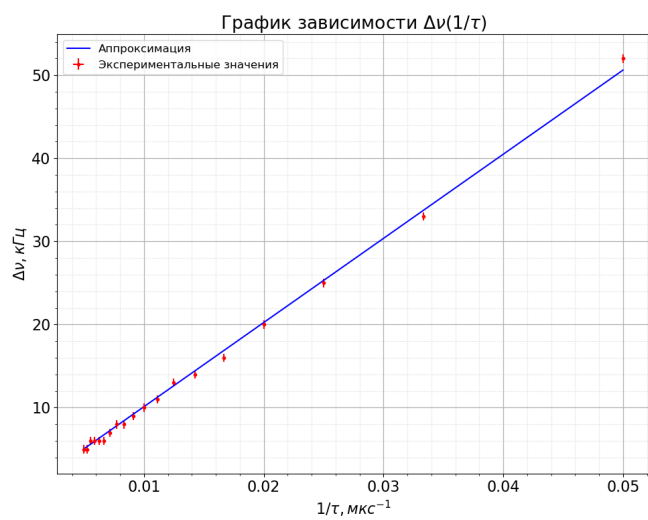


Рис. 16: График зависимости  $\Delta\nu(1/\tau)$

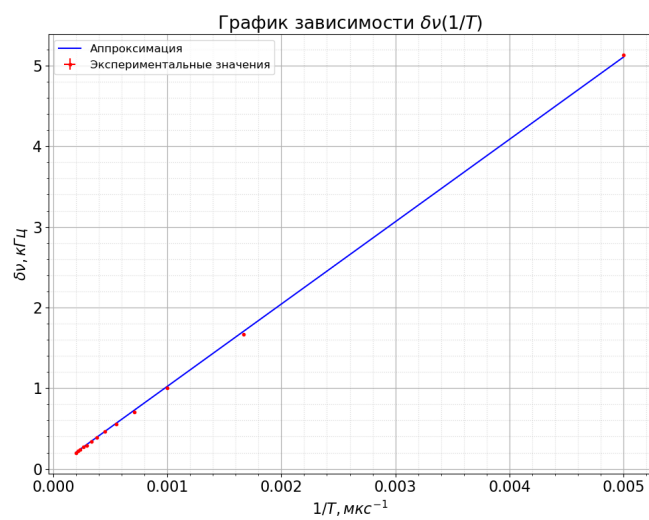


Рис. 17: График зависимости  $\delta\nu(1/T)$

$\tau$ , мкс	$\Delta\nu$ , кГц
20	$52.0 \pm 0.5$
30	$33.0 \pm 0.5$
40	$25.0 \pm 0.5$
50	$20.0 \pm 0.5$
60	$16.0 \pm 0.5$
70	$14.0 \pm 0.5$
80	$13.0 \pm 0.5$
90	$11.0 \pm 0.5$
100	$10.0 \pm 0.5$
110	$9.0 \pm 0.5$
120	$8.0 \pm 0.5$
130	$8.0 \pm 0.5$
140	$7.0 \pm 0.5$
150	$6.0 \pm 0.5$
160	$6.0 \pm 0.5$
170	$6.0 \pm 0.5$
180	$6.0 \pm 0.5$
190	$5.0 \pm 0.5$
200	$5.0 \pm 0.5$

Таблица 2: Зависимость полной ширины спектра от длительности импульса

$T$ , мкс	$\delta\nu$ , кГц
200	$5.13 \pm 0.01$
600	$1.67 \pm 0.01$
1000	$1.00 \pm 0.01$
1400	$0.70 \pm 0.01$
1800	$0.55 \pm 0.01$
2200	$0.46 \pm 0.01$
2600	$0.39 \pm 0.01$
3000	$0.34 \pm 0.01$
3400	$0.29 \pm 0.01$
3800	$0.27 \pm 0.01$
4200	$0.24 \pm 0.01$
4600	$0.22 \pm 0.01$
5000	$0.20 \pm 0.01$

Таблица 3: Зависимость расстояния между соседними гармониками от периода повторения